

混合ガス使用による平爐作業に就て

(日本鐵鋼協會第 23 回講演大會, 第 4 回日本工學大會講演, 昭 15.4. 東京).

數 納 勳 郎 *

ON THE BASIC OPEN HEARTH PRACTICE USING MIXED GAS

Kunrō Sunō

SYNOPSIS:—The author presented statistically results of the operation of the No. 5 basic open hearth using mixed gas in Showa Steel Works during the period from April 1937 to Sept. 1939. Then the author examined physical and chemical reactions that take place when mixed gas is preheated in the regenerator and gave useful directions concerning the practice and construction of the open hearth.

目 次

序 説

I. 蓄熱室溫度と混合ガス性状の變化

1. ガス成分の變化
2. ガス比重の變化
3. ガス速度の變化
4. ガス熱量の變化

II. 蓄熱室溫度と火焔溫度の關係

1. 火焔溫度の測定
2. 豫熱ガス中の炭素量の測定

III. 混合ガス使用状況

1. ガス通入
2. 製鋼作業中のガス使用

IV. 装入時間, 熔解時間, 精鍊時間の關係

1. 装入時間と熔解時間
2. 半銑溫度, 装入鑄石量と熔解時間

V. 熔解時に於ける不活動性鋼滓

VI. 各試験の熱勘定

VII. 混合ガス使用に對し留意すべき事項

1. 設計に就て
2. 築爐に就て
3. ガス壓力, 計器類に就て

總 括

序 説

昭和 12 年 7 月, 第 5 號平爐に於て混合ガス (コークス爐ガスと熔鑄爐ガスの混合物にかく命名す) に依る平爐作業を開始したが, 発生爐ガスとその性状を異にする爲, 作業の方法は勿論, 平爐の設計, 築爐等に於ても研究すべき餘地が多い事を経験した。昭和 13 年 1 月第 5 號平爐にて熱勘定に關する研究を試みたが, 之を機會に混合ガスを使用して豫備精鍊爐との合併製鋼法を行ふには如何なる操業法が良いかを研究する爲同平爐に於て熱管理所と共同して, 長期に亘り研究を行ふ事にした。

* 昭和製鋼所

ガス流量計, 溫度記錄計, 壓力計等各計器類の整備及び混合ガス, 排ガス等の分析は夫々熱管理所の計器係及び技術係が擔當し, 操業に關する統計的蒐集は製鋼工場が受持つた。

試験は次に示すやうに 4 回に涉り行つたが一應之を取纏め將來に對する指針を定め, 更に豫備精鍊爐と併行的に之を行ひアスカニア自動調節機による平爐作業の研究を行ふ積りである。

第 1 回 昭和 13 年 3 月 1 日より同年 4 月 14 日

第 2 回 昭和 13 年 4 月 22 日より同年 8 月 24 日

第 3 回 昭和 13 年 9 月 4 日より昭和 14 年 1 月 25 日

第 4 回 昭和 14 年 8 月 1 日より同年 9 月 12 日

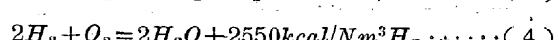
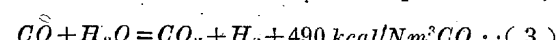
各試験は時候によるガス成分の變化, 夏季暑熱の爲の肉體的條件の差異, 特に第 3 回, 第 4 回は熔銑關係の變動により著しく作業條件が異つた爲に一貫した試験を試みる事は出來なかつたが, 平爐作業上種々考ふべき問題を提供し参考となつた點が多かつた。試験成績は末尾の表に示す。

混合ガスが蓄熱室で豫熱せられ吹出口から噴出する迄には種々の物理的化學的變化を受けてガスの性状が變化する。この變化を明かにする爲, 昭和 15 年 2 月, 之に就て實驗を試み平爐作業上或は築爐上の参考に供した。

I. 蓄熱室溫度と混合ガス性状の變化

1. ガス成分の變化

混合ガスは蓄熱室中に於て豫熱され主として次の化學變化が行はれる。



CH_4 の分解によつて生じた C の一部は(2)の如く CO_2 の還元に消費される。この反応は可逆反応であるが平爐の普通操業状態に於ては蓄熱室温度は 800°C 以上であるから、常に右方向に進む。

混和ガス中の O_2 は豫熱温度が低れか一つのガス成分の燃焼温度に達すると一部消費せられる。 O_2 は C 又は CO と化合して CO_2 になるが H_2 の燃焼温度が低いと大なる還元力の爲 H_2 を酸化して H_2O とする(4)の反応が行はれ易い。

昭和 15 年 2 月 10 日、12 日、15 日の 3 日間に涉り次の方法に依りガス分析を行つた。試料は變更瓣とガス上りの兩方から採り、ガスを東から 50 mm 通じ 10 mm 置きに試料を採取し蓄熱室温度とガス成分の變化を調べた。ガス変更直前及び直後の温度を高溫計で測定し、この間の温度低下は Stahl u. Eisen (1931) p. 989, Walter Albert の論文に基き定めた(測定箇所は鋼滓室、格子積室境界の格子積煉瓦表面)。之等の分析結果は第 1~3 表に示してある。

第 1 表 混和ガス分析表(實驗 I)

於ガス變更瓣							
時刻	CO_2	C_nH_m	O_2	CO	H_2	CH_4	N_2 net kcal
午後 2.45	7.2	1.0	1.4	21.2	15.1	8.3	45.8 1916
2.55	8.0	1.0	1.4	21.4	15.0	8.6	44.6 1945
3.05	7.0	1.0	1.6	20.0	18.8	9.9	41.7 2110
3.15	7.4	0.8	1.6	20.2	17.7	8.9	43.4 1969
3.25	7.2	0.8	1.2	22.0	16.1	7.8	44.9 1888
3.35	7.6	1.0	1.4	21.6	16.0	9.1	43.3 2106

於ガス上り

時刻	CO_2	C_nH_m	O_2	CO	H_2	CH_4	N_2 net kcal
午後 2.45	4.6	--	0.4	28.0	20.2	2.2	44.6 1560
2.55	5.0	--	1.0	25.6	20.3	4.5	43.6 1690
3.05	5.0	--	0.4	22.6	24.8	5.8	41.2 1758
3.15	6.0	0.2	0.6	24.4	16.4	5.5	46.9 1634
3.25	6.6	--	0.6	24.8	16.2	5.4	46.4 1691
3.35	7.8	0.4	0.6	23.2	19.0	5.0	44.0 1675

第 2 表 混和ガス分析表(實驗 II)

於ガス變更瓣							
時刻	CO_2	C_nH_m	O_2	CO	H_2	CH_4	N_2 net kcal
午後 4.00	7.0	0.8	0.8	22.4	15.0	7.8	46.2 1872
4.10	6.6	0.8	0.8	23.2	18.1	8.7	41.8 2028
4.20	7.4	1.0	1.2	22.0	17.3	9.1	42.0 2065
4.30	6.6	1.0	1.0	22.8	17.4	9.1	42.1 2091
4.40	7.2	1.2	0.8	22.4	17.8	9.1	41.5 2124
4.50	6.4	1.0	1.2	22.4	17.2	9.7	42.1 2125

於ガス上り

時刻	CO_2	C_nH_m	O_2	CO	H_2	CH_4	N_2 net kcal
午後 4.10	4.4	--	0.8	25.6	22.1	5.1	42.0 1785
4.20	5.6	--	0.8	24.8	20.2	6.9	41.7 1865
4.30	6.0	--	0.8	24.0	18.9	7.8	42.5 1885
4.40	6.2	0.2	0.8	23.8	17.9	8.7	42.4 1964
4.50	6.6	0.4	0.6	23.6	17.8	8.7	42.3 1990

混和ガスは豫熱され CH_4 の分解、 CO_2 の還元により、其の 1 容は 2 容となり容積を増加する。従つて混和ガスの N_2 を基準として豫熱ガスの分析を換算しないと兩者の比較に誤りを生ずる。この換算結果を第 4~6 表に示してある。

第 3 表 混和ガス分析表(實驗 III)

於ガス變更瓣							
時刻	CO_2	C_nH_m	O_2	CO	H_2	CH_4	N_2 net kcal
午前 11.44	8.0	1.0	0.6	22.4	17.2	10.0	40.8 2151
11.50	8.0	1.4	1.6	21.6	18.0	9.4	40.0 2165
午後 12.00	8.0	1.0	1.0	20.6	17.3	10.2	41.9 2116
12.10	7.6	0.8	0.6	21.8	17.5	9.2	42.1 2039
12.20	8.0	0.6	0.8	22.0	17.5	9.7	41.4 2053
12.30	8.0	0.4	0.8	20.8	17.3	9.8	42.9 1986

於ガス上り

時刻	CO_2	C_nH_m	O_2	CO	H_2	CH_4	N_2 net kcal
午前 11.44	4.0	--	0.8	28.6	23.1	4.0	39.5 1809
11.50	4.8	--	1.0	25.4	20.6	6.2	42.0 1834
午後 12.00	5.6	--	0.8	24.6	18.4	8.3	42.3 1983
12.10	6.2	--	0.8	24.4	17.8	8.7	42.1 1946
12.20	6.8	--	1.0	24.2	17.2	9.5	41.3 1993
12.30	7.0	--	0.8	23.8	16.9	10.0	41.5 2017

第 4 表 換算混和ガス分析表(實驗 I)

於ガス上り							
時刻	CO_2	C_nH_m	O_2	CO	H_2	CH_4	N_2
午後 2.45	4.7	--	0.4	28.8	20.8	2.3	45.8
2.55	5.1	--	1.0	26.2	20.4	4.6	44.6
3.05	5.1	--	0.4	22.8	25.1	5.9	41.7
3.15	5.6	0.2	0.6	22.6	15.2	5.1	43.4
3.25	6.4	--	0.6	24.0	15.7	5.2	44.9
3.35	7.7	0.4	0.6	22.8	18.7	4.9	43.3

第 5 表 換算混和ガス分析表(實驗 II)

於ガス上り							
時刻	CO_2	C_nH_m	O_2	CO	H_2	CH_4	N_2
午後 4.10	4.4	--	0.8	25.4	22.0	5.1	41.8
4.20	5.6	--	0.8	25.0	20.4	7.0	42.0
4.30	5.9	--	0.8	23.8	18.7	7.7	42.1
4.40	6.1	0.2	0.8	23.3	17.5	8.5	41.5
4.50	6.6	0.4	0.6	23.5	17.7	8.7	42.1

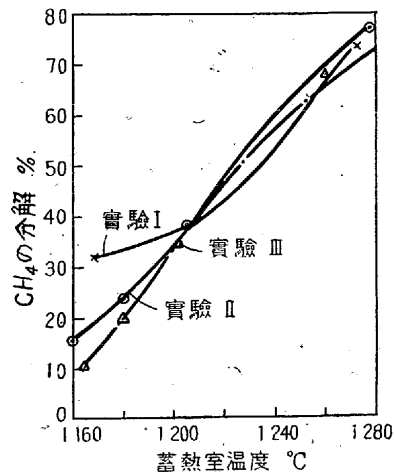
第 6 表 換算混和ガス分析表(實驗 III)

於ガス上り							
時刻	CO_2	C_nH_m	O_2	CO	H_2	CH_4	N_2
午前 11.44	3.9	--	0.8	27.7	22.4	3.9	40.8
11.50	4.6	--	1.0	24.2	19.6	5.9	42.0
午後 12.00	5.5	--	0.8	24.4	18.2	8.2	41.9
12.10	6.2	--	0.8	24.4	17.8	8.7	42.1
12.20	6.8	--	1.0	24.2	17.2	9.5	41.4
12.30	6.8	--	0.8	23.0	16.3	9.7	42.9

次に各試験時間内の蓄熱室温度低下を示す。

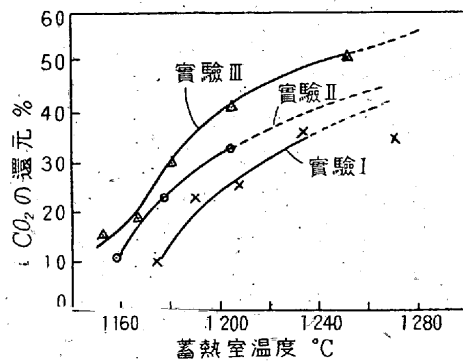
實驗 I	時刻	溫度	實驗 II	時刻	溫度	實驗 III	時刻	溫度
午後 4.10	1,290°C		午後 4.00	1,275°C		午前 11.44	1,248°C	
			4.05	1,222		11.50	1,205	
			4.10	1,206		午後 12.00	1,180	
			4.20	1,178				
			3.15	1,190		12.10	1,164	
			4.30	1,158		12.20	1,153	
			3.25	1,176		12.30	1,145	
			4.40	1,144				
			3.35	1,165				
			4.50	1,130				

第4, 5, 6表から CH_4 の分解を表はしたもののが第1圖である。之から見ると混合ガス中の CH_4 は蓄熱室温度1,200°Cの時、その35% 1,300°Cに於て75% 分解する。



第1圖 蓄熱室温度と混合ガス中の CH_4 の関係

CO_2 の還元を第4, 5, 6表から求めたのが第2圖である。



第2圖 蓄熱室温度と混合ガスの CO_2 の関係

第2圖から見ると CO_2 の還元は各實驗毎に相當廣範囲に移動してゐるが、之は水ガス反応の影響を受けてゐるものと考へられる。

2. ガス比重の變化

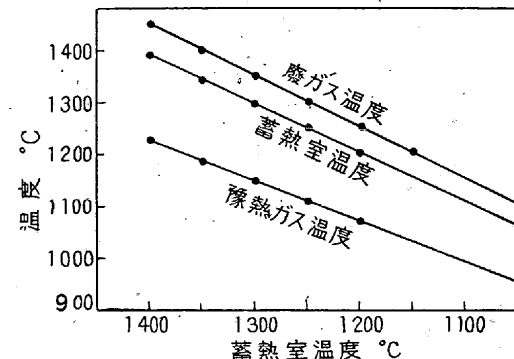
常温に於ける混合ガスの比重は次に示す如く發生爐ガスに比較して幾分軽い。

	CO_2	O_2	C_6H_6	CO	H_2	CH_4	N_2	net kcal	比 重 (kg/Nm^3)
高爐ガス	8.0	0.4	—	30.9	0.95	—	59.85	967	1.30
コークス 爐ガス	8.3	1.1	2.6	10.2	47.7	25.3	9.9	4,144	0.60
混合ガス (コークス爐 ガス35%)	6.4	0.6	0.9	23.7	17.3	8.9	42.2	2,080	1.05
發生爐ガス	2.1	0.5	0.8	29.4	12.7	4.1	50.4	1,677	1.10

混合ガスは豫熱せられると CH_4 の分解、 CO_2 の還元等に依りガス成分は變化し、蓄熱室を出ると CH_4 は減少し H_2 及び CO が増加するから比重は小になる。

豫熱ガス温度と蓄熱室煉瓦表面温度との関係は信澤氏の計算によれば第3圖の如くなる。

之よりガスカナル及び蓄熱室を通過する時のガス温度を夫々 400°C*, 1,150°C とすれば常温に於ける混合ガスの容積 V 及び比重 ρ は次の如くなる(但 $\rho_0=1.05 kg/Nm^3$)。



第3圖 豫熱ガス及び廢ガス温度と蓄熱室温度の關係

$$V_{400} = V_0 (1 + 400/273) = 2.46 V_0 \quad \rho_{400} = 0.430 kg/m^3$$

$$V_{1300} = V_0 (1 + 1,150/273) = 5.22 V_0 \quad \rho_{1300} = 0.201 kg/m^3$$

CH_4 の分解及び CO_2 の還元を考慮に入れた時 1,300°Cで CH_4 はその76%, CO_2 はその55% 変化す。従つて上記の混合ガス分析から CH_4 6.8%, CO_2 3.5% が変化す。故に容積は $6.8 + 3.5 = 10.3\%$ 増加す。

$$V'_{1300} = 5.22 V_0 \times 1.103 = 5.76 V_0$$

$$\rho'_{1300} = 1.05 / 5.76 = 0.182 kg/m^3$$

蓄熱室温度 1,250°C, 1,200°C, 1,150°C の時のガス温度は第3圖より夫々 1,110°C, 1,070°C, 1,025°C であるから同様に計算により容積、比重は次の如くなる。

$$V_{1250} = 5.07 V_0 \quad \rho_{1250} = 0.207 kg/m^3$$

$$V_{1200} = 4.92 V_0 \quad \rho_{1200} = 0.214 kg/m^3$$

$$V_{1150} = 4.75 V_0 \quad \rho_{1150} = 0.221 kg/m^3$$

CH_4 の分解及び CO_2 の還元を考へたる時

$$V'_{1250} = 5.40 V_0 \quad \rho'_{1250} = 0.195 kg/m^3$$

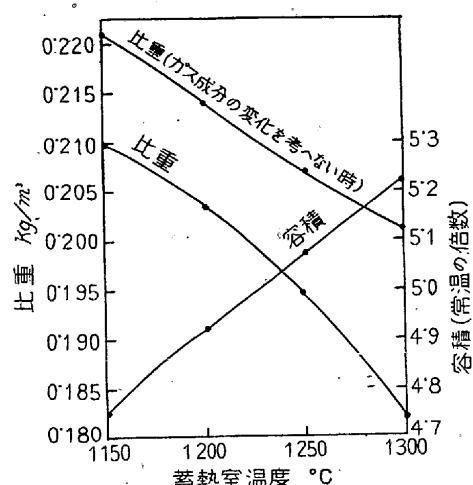
$$V'_{1200} = 5.16 V_0 \quad \rho'_{1200} = 0.204 kg/m^3$$

$$V'_{1150} = 5.00 V_0 \quad \rho'_{1150} = 0.210 kg/m^3$$

蓄熱室温度と豫熱ガスの容積、比重の関係を第4圖に示す。1,200°Cから1,300°Cの間で容積は常温の5.16倍から5.76倍に増加し、比重は $0.204 kg/m^3$ から $0.182 kg/m^3$ に減少する。即ち混合ガスは蓄熱温度100°Cの差に對し13.3% 比重が小になる。

今コークス爐ガス: 高爐ガスの容積比1:1.5の混合ガスを1,200°Cに豫熱すると吹出口を出る時の火炎の重さは $0.189 kg/m^3$ である。この混合ガスの廢ガスが爐内で1,650°Cになると $0.179 kg/m^3$ の重さとなる。即ち火炎は僅かに

* 平爐熱勘定 第3報 貫流高温計による測定結果



第4圖 蓄熱室溫度とガス比重容積の關係

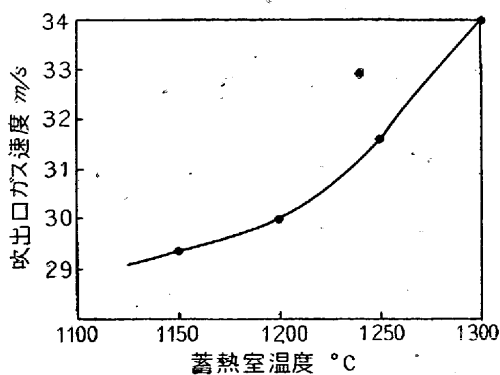
重いが混和ガスのコークス爐ガス割合を増すか、或は豫熱温度を高くすると火炎は軽くなり廢ガスに對する相對的浮力の爲火炎は爐内に於て浮び易くなる。ガスが軽くなると慣性(ρV^2)が小さくなり、従つて抵抗によつて火炎の方向が亂れ易くなる。又ガスは一般に高温になると粘性が増大する。是等の現象の綜合的結果によりガスの飼囲性が悪くなるのである。

3. ガス速度の變化

混和ガスは蓄熱室通過後、ガス成分の變化と豫熱せられることにより著しく容積を増し、ガスの重さが軽くなる事は前項に述べた通りである。従つて吹出口を出る速度を大にしないと爐内に於ける火炎は鋼壁面に密着しないで天井を飼ひ作業が非常に困難となる。今ガス流量を $8,000 \text{ m}^3/\text{h}$ とした時ガス速度の變化は次の如くなる。

場所	ガス温度 °C	断面積 m^2	ガス容積 m^3	ガス速度 m/s
ガスカナル	400	1.89	$2.46 \times 2.22 = 5.46$	2.90
ガス上り	1150	1.045	$5.76 \times 2.22 = 12.80$	12.25
吹出口	1200	0.389	$5.95 \times 2.22 = 13.21$	34.00

(蓄熱室温度と吹出口に於けるガス温度の差を 50°C とす)



第5圖 蓄熱室溫度と吹出口ガス速度の關係

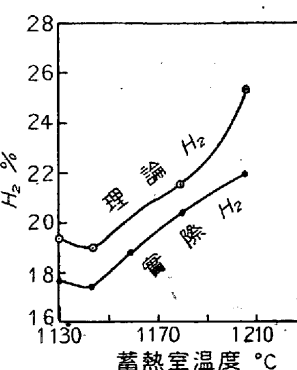
蓄熱室温度と吹出口のガス速度の關係を第5圖に示す。蓄熱温度が高くなるとガスの比重は軽くなり浮力は増すがガス速度が大きくなる爲、或程度ガスの方向は安定し易くなる。

4. ガス熱量の變化

1. に述べた如く混和ガスは豫熱に依るガス成分の變化により熱量が變化する。豫熱温度が高い程熱量が減少する事は第2, 3表で明かである。併し混和ガスの 1 Nm^3 に就て考へると豫熱温度が高い程 CH_4 の分解と CO_2 の還元による化學エネルギーの増加により熱量が増加する。

H_2 の變化は O_2 が殆ど變化しない點から O_2 のみに就て考へれば殆ど問題とするに足らないと思はれる。併し豫熱後のガス分析に就て見ると H_2 の量は CH_4 の分解から生ずべき H_2 程増してゐないことが第6, 7圖に依つて分る。之は注目すべき問題で蓄熱室煉瓦間に堆積してゐる Fe_2O_3 の還元に一部の H_2 が消費されるのではないか、或はカナルからガス上りに至る道程に於て空氣が侵入して H_2 を酸化するのではないかと考へられる。これは更に精密なガス分析或はガス中の H_2O の測定に依つて研究しなければ判然せぬが、何れにしても H_2 の酸化は多量の化學エネルギーの減少を伴ひ最も忌むべき反応である。若し H_2 の酸化が侵入空氣のみによつて起つたと假定すると理論的 H_2 と實際の H_2 の差に相當する O_2 は大きな値であるが、ガス分析から計算した漏入空氣は $1\sim 2\%$ 或は 0 であつて減少 H_2 と符合しないことがわかる。之によつても他の方法で消費されたと考へざるを得ない。若し 2% の空氣が侵入したとすると H_2 酸化による顯熱の減少は 21.4 kcal となる。

混和ガス中の水分は前述の通り水ガス反応に與り又 CH_4 の分解により生じた C と反応して C を消費する可能性がある。

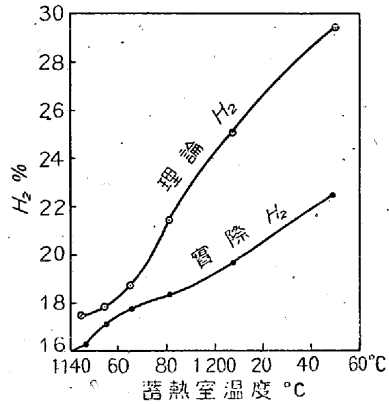


第6圖 (実験 II)

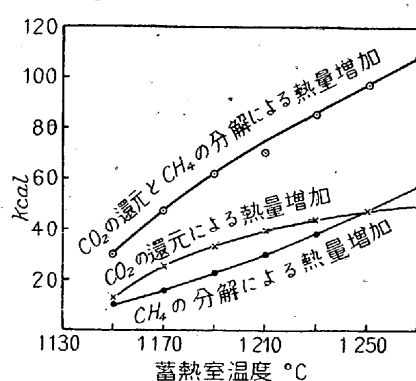
蓄熱室温度と混和ガス中の H_2 の變化

是等は何れも顯熱の減少を來すし燃燒温度低下の原因となる。コークス爐ガス高爐ガスの燃燒温度は供給温度が 20°C を超えると急に低くなるから之以下の温度を理想とする。

CH_4 の分解と CO_2 の還元のみを考へた時第2, 5表及び第3, 6表より計

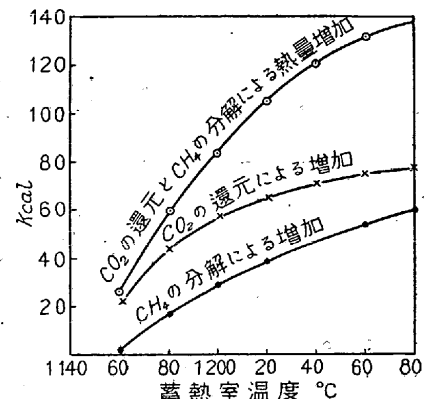


第7圖（實驗III）

蓄熱室溫度と混和ガス中の H_2 の變化

第8圖（實驗II）

蓄熱室溫度と混和ガス熱量の關係



第9圖（實驗III）

蓄熱室溫度と混和ガス熱量の關係

算した熱量増加は第8, 9圖の如くなる。

II. 蓄熱室溫度と火炎溫度との關係

1. 火焰溫度の測定

混和ガスの最も大きな特徴は光輝性の少い事である。蓄熱室溫度が 900°C 以下では火炎は暗赤色である。 $1,000^{\circ}\text{C}$ を超えると漸次白味を帯びて来るが未だ吹出口より出る火炎の中心に黒味を帯びてゐる。 $1,250^{\circ}\text{C} \sim 1,300^{\circ}\text{C}$ になると發生爐ガスと殆ど變らない白色の光輝性を見る。平爐の修繕を終りガス通入後、蓄熱室溫度の上昇と火炎溫度を高溫計により測定した結果を次表に示す。

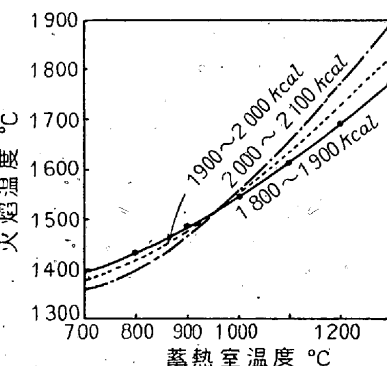
試験期間中のガス成分

コーカス爐ガス							
月 日	CO_2	O_2	C_nH_m	CO	H_2	CH_4	N_2
1 14	4.8	1.2	2.8	11.2	45.9	21.3	12.8
1 15	4.4	0.4	2.4	11.2	46.4	22.3	12.9
1 16	3.8	0.6	2.4	11.2	48.1	23.0	10.9
1 17	4.0	0.6	1.8	10.6	51.3	23.7	8.0

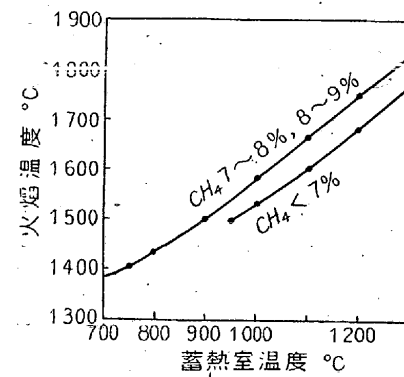
高爐ガス							
月 日	CO_2	O_2	C_nH_m	CO	H_2	CH_4	N_2
1 14	4.4	0.2	—	33.4	0.8	—	61.2
1 15	5.6	0.4	—	32.8	1.9	—	59.3
1 16	5.0	0.2	—	33.2	1.1	—	60.5
1 17	5.2	0.4	—	32.4	0.8	—	61.2

第10, 11圖は上表を圖に表はしたものである。

第10圖は混和ガスの發熱量に依り區別した結果であるが蓄熱室溫度 950°C 以下では發熱量の低い方が却つて火炎溫度は高くなつてゐる。空氣過剩率 3.0 以上の時はかくの如き現象もあり得るが實際には 950°C 以下の時は熱量の高低は火炎溫度にはあまり影響ないものと考へるのが至當であらう。初期の加熱には空氣過剩とならないやうに注意し $1900 \sim 2,000 \text{ kcal}$ のガスを使用した方が良い。熱量



第10圖 蓄熱室溫度と火炎溫度との關係



第11圖 蓄熱室溫度と火炎溫度の關係

ガスは火炎溫度殆ど等しく、7% 以下のものは火炎溫度は前者に比し約 60°C 低くなつてゐる。

2. 混和ガス中の炭素量の測定

I. の1. の CH_4 の分解と CO_2 の還元から遊離 C 量を計算した結果を第12, 13圖に掲げる。

CH_4 の分解から生じた C を (+) にとり CO_2 の還元に與る C を (-) にとりこの差を理論的遊離炭素としたのであるが、之を實測の結果と比較して見る。

實驗の方法はガス上りに石英燃焼管を挿入し之にマルチウス式煙塵捕集装置を連結して約 10mm ガスを吸收せしめ

の高いガスを使用してもその效果はない。 950°C 以上ではガスの熱量が高い程火炎溫度の上昇が急になつてゐる。即ち蓄熱溫度が 950°C 以上も上つたら熱量の高いガスを使用する方が爐熱は早く上昇するし從つて早く裝入出来るやうになる。

第11圖は混和ガス中の CH_4 により分類したのであるが CH_4 7~8%

と CH_4 8~9%

のガスは火炎溫度殆ど等しく、7% 以下のものは火炎溫度は前者に比し約 60°C 低くなつてゐる。

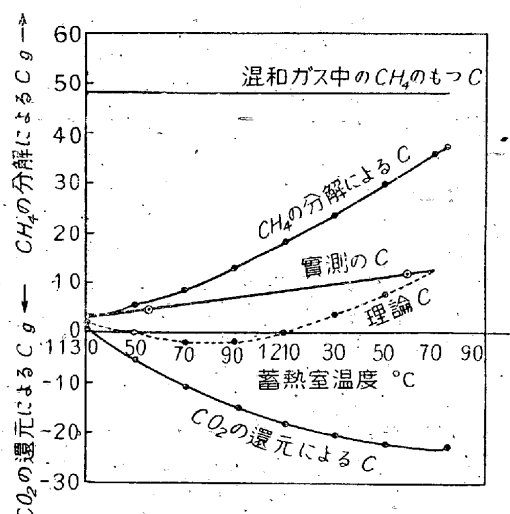
火 焰 溫 度 と 蕃 热 室 溫 度

月 日	時刻	蕃热室東			蕃热室西			空氣 流量 m^3/h	コークス 爐ガス 流量 m^3/h	月 日	時刻	蕃热室東			蕃热室西			空氣 流量 m^3/h	コークス 爐ガス 流量 m^3/h	高爐ガス 流量 m^3/h	
		火 焰	空 氣	ガ 斯	火 焰	空 氣	ガ 斯					火 焰	空 氣	ガ 斯	火 焰	空 氣	ガ 斯				
午前 114	10:40	1,360	1,080	-	-	1,170	-	10,800	3,400	6,000	115	午後 2:30	-	-	1,520	1,130	940	-	-	-	
午後 0:55 1.10	1.10	1,050	950	770	1,400	1,060	-	13,000	3,000	6,000	4.00	3.35	1,500	1,075	980	1,540	1,010	1,110	13,000	2,000	6,300
2.00 2.10	2.10	1,375	950	770	1,405	1,140	740	13,000	3,100	6,000	6.00	6.09	1,650	1,020	1,100	1,600	1,100	1,059	11,700	2,500	6,000
3.00 3.10	3.10	990	900	820	1,405	1,030	740	13,000	3,200	5,900	6.22	-	-	-	1,600	1,080	1,040	1,078	1,070	13,000	
3.30 4.00	4.00	1,420	900	820	1,415	1,170	760	13,000	3,200	5,900	8.00	8.20	1,710	1,085	1,100	1,640	1,105	1,015	11,700	2,700	7,000
4.25 4.30	4.30	1,445	990	840	1,415	1,010	760	13,000	3,000	6,000	9.45	-	-	-	1,650	1,080	1,025	15,000	3,20	5,500	
4.54 5.16	5.16	1,445	990	840	1,449	1,039	735	13,000	3,200	6,100	10.00	10.10	1,650	1,060	1,040	1,650	1,080	1,045	-	-	-
5.35 5.36	5.36	1,442	1,060	851	1,449	1,009	-	13,000	3,000	5,000	12.00	12.10	1,620	1,055	1,090	1,680	1,090	1,040	15,000	3,100	5,000
6.00 6.38	6.38	1,184	1,060	882	1,440	1,056	774	13,000	3,200	6,000	12.28	午前 2:05	-	-	-	1,110	1,063	-	-	-	-
6.39 6.57	6.57	1,530	1,060	882	1,430	1,042	774	13,000	3,000	5,000	2.05	2.15	1,690	1,080	1,120	1,700	1,120	1,090	15,000	2,900	5,500
7.13 7.14	7.14	1,520	1,039	922	1,430	1,010	770	13,000	4,000	5,500	4.10	4.20	1,750	1,080	1,162	1,720	1,150	1,030	15,000	2,800	7,400
7.23 8.11	8.11	1,122	1,062	992	1,440	1,056	800	13,000	3,400	5,000	6.15	6.20	-	-	-	1,050	1,030	1,035	13,500	2,400	3,700
8.12 8.22	8.22	1,105	1,062	992	1,470	1,078	830	13,000	3,800	5,000	6.40	6.40	1,700	1,060	1,125	1,700	1,120	1,090	13,300	2,800	5,400
8.23 10.03	10.03	1,105	1,062	992	1,490	1,110	882	13,000	3,400	5,000	8.10	8.15	-	-	-	1,090	1,080	1,060	13,500	2,400	3,700
10.19 12.00	12.00	1,160	1,100	1,020	1,490	1,065	882	13,000	3,400	5,000	10.15	10.20	1,445	1,049	1,080	1,680	1,070	1,060	11,900	2,850	5,000
午前 0.14 0.15	0.15	1,500	1,195	1,110	1,495	1,052	892	13,000	3,200	5,400	11.30	11.40	-	-	-	1,400	1,000	1,020	11,900	2,750	6,500
2.04 2.10	2.10	1,120	1,075	991	1,500	1,075	920	13,000	3,000	5,000	12.30	12.40	1,685	1,070	1,205	1,620	1,080	1,090	11,250	2,8	7,000
3.45 3.46	3.46	1,500	1,100	950	1,500	1,062	970	13,000	3,000	5,000	2.10	-	-	-	-	1,120	1,220	-	11,80	2,900	7,500
4.14 4.15	4.15	1,500	1,050	950	1,500	1,030	970	13,000	3,000	5,000	4.00	4.15	1,730	1,060	1,210	1,580	1,060	1,120	13,500	2,520	6,650
6.03 6.04	6.04	1,110	1,065	985	1,520	1,050	932	13,000	3,000	5,000	4.15	4.20	1,740	1,050	1,170	1,790	1,150	1,220	13,200	3,150	5,400
6.15 8.00	8.00	1,500	1,110	1,070	1,499	1,060	970	13,000	3,000	5,500	4.25	4.30	1,790	1,145	1,295	1,780	1,110	1,172	13,500	2,250	5,500
8.01 8.15	8.15	1,500	1,110	1,070	1,499	1,030	985	12,000	2,500	5,000	4.55	4.60	1,790	1,145	1,295	1,740	1,095	1,151	13,000	2,500	5,450
10.00 10.25	10.25	1,580	1,080	970	1,480	1,030	990	13,000	2,800	5,600	11.55	12.12	1,703	1,055	1,330	1,700	1,011	1,073	13,500	2,300	6,000
11.50 12.10	12.10	1,120	1,035	1,500	1,480	1,150	1,150	13,000	2,600	6,000	12.14	12.14	1,775	1,073	1,210	1,700	1,020	1,115	13,500	2,650	6,500
2.00	2.00	1,590	1,080	940	1,480	1,150	1,150	12,000	2,600	6,000	2.11	-	-	-	-	1,700	1,011	1,073	13,500	2,650	6,000
		1,530	1,080	930	1,170	960	1,170	12,000	2,200	5,000	2.12	-	-	-	-	1,700	1,011	1,073	13,500	2,650	6,000

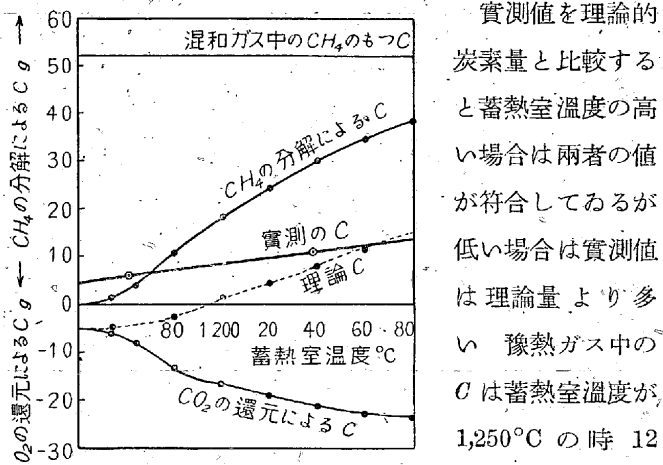
濾紙に沈殿した炭素量を重量測定した。濾紙上の煙塵は燃焼による C 分析の結果 100% C なることを確めた。

測定は前述の混合ガス分析試料の採取と同時に各 2 回行つた。

期日	時刻	計器の讀	ガス圧力 ft ³	ガス溫度 mmHg	大氣壓 mmHg	流量 Nm ³	炭素量 g/Nm ³
15-2-12	午後 4.02	4.12	1.977	-12.132	25	768.9	0.051 12.56
	4.40	4.45	2.000	-15.809	25	768.9	0.051 4.98
15-2-15	10.43-11.53	5.346	-22.40	19	766.7	0.135	10.94
	午後 12.18-12.28	5.401	-22.40	18	766.7	0.137	6.31



第 12 圖 蓄熱室温度と混合ガス中の遊離 C 量の関係



第 13 圖 蓄熱室温度と混合ガス中の遊離 C 量の関係

41 g/Nm³ と比較すると約 1/3 で之が混合ガスと發生爐ガスの根本的の差である。かくの如く輻射能の少い事から種々の不利が生じてくる。1,200°C の時の炭素量は 8 g, 1,300°C の時は 15 g であり之より見ても、充分ガスを豫熱する事は混合ガス使用に對し絶対必要である。

III. 混合ガス使用状況

1. ガス通入

混合ガスの通入は發生爐ガスより容易である。コークス爐ガスを先に通すと屢々小さな爆發を伴ひ、危險を感じるが高爐ガスを先に通す時は些かの衝撃を與へる事なく行へる。之は次の如く爆發限界が高爐ガスが最も小さい爲である。發火溫度はコークス爐ガスが最も低いのであるが、之はガス通入の安全性と無關係と考へて良い。

高爐ガス	620°C	40~65%
コークス爐ガス	560	5~30
發生爐ガス	600	35~75

乾燥後ガスカナル及び煙突の吸引力が夫々 12~15 mm 及び 23~26 mm Aq となつた時ガス通入を行ふ。高爐ガス通入後コークス爐ガス通入の時期はあまり早いと爐熱の急激なる上昇により煉瓦に悪い影響を與へる。第 1 回の變更を 2~2.5 h 後に行ふがこの變更を終つて 30 mn 位後にコークス爐ガスを通すのが良い。

平爐修繕後の乾燥及び加熱所要時間は發生爐ガスと混合ガス使用の時を比べると大分變化がある。100 吨平爐に於ける實績を次表に掲げる。混合ガスは發生爐ガスより乾燥時間は短いが加熱時間が著しく長くなつてゐる。即ち混合ガスはガス通入が安全なため乾燥時間は短いが、通入後の昇熱は遅い爲に加熱時間が長くなる(加熱時間はガス通入後ガス蓄熱室溫度が約 1,100~1,200°C になる迄の時間を云ふ)。

修繕 程度	爐體, (ガス止めより乾燥吹出開始まで 4~6 日)			爐體, 吹出, 上り蓄熱室(ガス止より乾燥開始迄 6~10 日)		
	乾燥時間	加熱時間	計	乾燥時間	加熱時間	計
混合ガス	26.33	30.13	56.45	31.45	46.00	77.50
發生爐ガス	30.00	15.00	45.00	44.00	34.00	78.00

2. 製鋼作業中のガス使用

1. 装入時のガスの使用 豫備精錬爐との合併製鋼法に於ては半銑装入前に屑鐵、礦石、石灰を高熱に保持し FeO に富む鋼滓を作つて置くことが必要と考へる。半銑装入後激烈な酸化反応を起さしめ爾後の熔解を順調に行ふには之は必要な條件である。

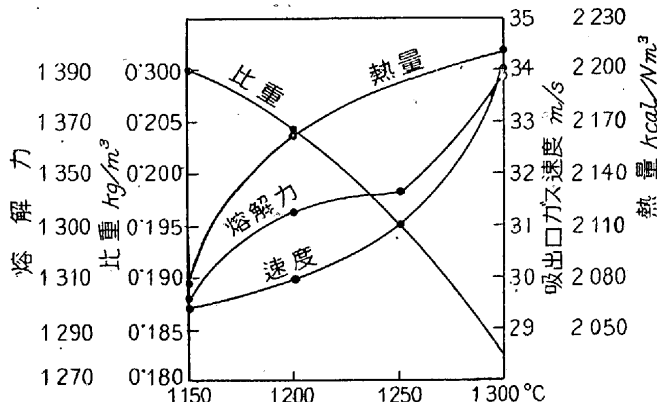
* 装入時には發熱量の高いガスを用ひる方が有利ではある。

* Blast Furnace & Steel Plant (1930) p. 1,621 G. Rose 及び F. Washburn は最初装入中は少い發熱量のガスを用ひた方が良いと言つてゐる。之は屑鐵法の如く装入中ガスの通りが悪い場合は重い發熱量の低いガスが良いかも知れぬが合併法では發熱量の高いガスを使用するのが至當と考へる。

	裝入時				熔解時				精鍊時						
	高爐ガス m³/h	コークス ガス m³/h	計 m³/h	熱量 kcal	空氣 m³/h	高爐ガス m³/h	コークス ガス m³/h	計 m³/h	熱量 kcal	空氣 m³/h	高爐ガス m³/h	コークス ガス m³/h	計 m³/h	熱量 kcal	空氣 m³/h
第2回	4,557	2,513	7,070	2,098	17,497	4,413	2,111	6,524	1,998	16,326	4,368	2,039	16,102	1,998	16,102
第4回	5,038	2,942	7,980	1,967	15,485	4,997	2,792	7,789	1,941	14,967	4,901	2,760	14,867	1,946	14,867

るがコークス爐ガスの割合が多くなるとガスの浮力を増すため、裝入物に突當つて天井を衝ふ傾向が強くなるので自から限度がある。

之にはガスの比重、速度、熱量を考慮に入れて決定しなければならぬ。標準状態に於て 2,067 kcal の混和ガスを用ひる場合、之等の關係は第 14 圖に示してある。



第 14 圖 蕃熱室溫度と混和ガス比重、熱量、熔解力、速度の關係

熱量 × 比重 × 吹出口ガス速度をガスの熔解力とすれば蕃熱室溫度 1,250°C 以上に於てガスの熔解力は急激に上昇する。比重 × 吹出口ガス速度はガスの有する運動量で之の大なる程裝入物を突通す力が大きい。物を熔解する力は運動量の大なると同時にガス自身の持つ熱量が大なる事を要する。依つて之をガスの熔解力としたのである。

熱量が多くなると比重が軽くなるので裝入時の理想としては 2,100~2,200 kcal のガスを蕃熱室溫度 1,250~1,300°C の状態で使用するのが良い。流量はなるべく大きい方が良く 8,000~9,000 m³/h を用ひる。

2. 熔解中のガス使用 混和ガス使用に於て最も難しいのは熔解中である。前裝入終了後半銑をとつて暫くは爐熱が餘程低いか半銑が低熱でない限り沸騰する。熔解が順調に行く場合は沸騰は終始續けられるが半銑裝入後 1~2h 後に沸騰が極く少くなり、銑滓がビールの泡の如く膨れる状態になると火焰の熱は熔銑に傳はらず徒に天井の熱が上り天井煉瓦熔損の危険を生ずる場合が多い。發生爐ガス使用の際はかくの如き場合を殆ど生じない事から半銑裝

入後銑滓を通じて行はれる傳熱の形式は殆どガスの輻射熱によるものと考へる。混和ガスに於ても發生爐ガスに匹敵する輻射能を有つてゐれば容易に熔解する筈である。輻射能を大きくするため熔解時は裝入中より熱量の高い 2,150~2,250 kcal のガスを使用するのが理想と考へる。ガス量は爐内に於て沸騰が行はれてゐる爐全體の熱が上昇するから裝入時より少くて良い。

3. 精鍊中のガス使用 熔解後のガス使用は熔銑の熱に應じてなさるべきで、熱が低ければ熱量の高いガスを使用する。平均 2,100~2,200 cal. のガスを寧ろ少量に使用しダンパーを閉めたが良い。

上記の表は實際の使用状況を示す。

熱量は上述の理想案より何れも低い。殊に第 4 回試験に於て低いのはコークス爐ガスの熱量が約 12% 低下したのでコークス爐ガス割合を増加したにも拘はらず低くなつたのである。

吹出口面積を狭めてガス速度を増せばこの理想案に近づける事が出来ると思ふ。

4. 空氣の使用 混和ガス使用の際は絶対に強壓送風が必要である。以前自然通風で混和ガスを使用した事があるが燃焼ガスが爐内に於て浮上り作業が甚だ困難であつた。空氣使用量は烟道排ガス中の O₂ の量により定めるべきものと考へる。附表の如く試験期間中の排ガスは 3.5~5.0% の O₂ を含んでゐるが空氣過剩率は 6~24% で大抵 10% 以下である。目標としては理論的必要量より僅かに多い空氣を使用すれば充分であつて發生爐ガスに比べて空氣使用量は少くて良い。

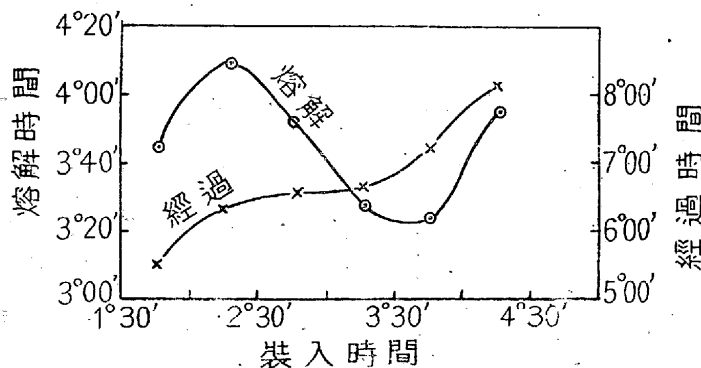
IV. 裝入時間、熔解時間、精鍊時間の關係

裝入、熔解、精鍊時間の關係は第 1 回より第 3 回迄の試験に就て論ずる。第 4 回は試験回數少き爲除いた。

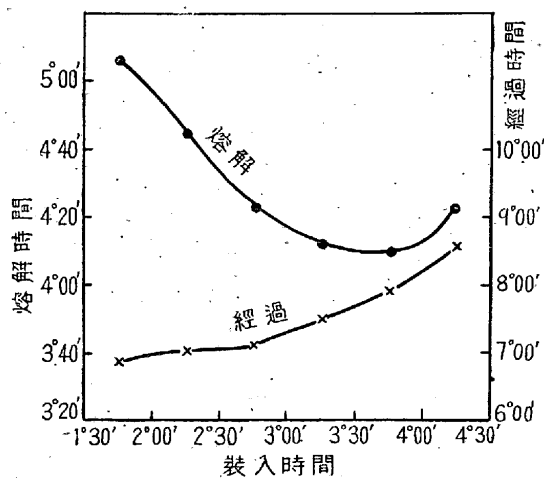
1. 裝入時間と熔解時間、製鋼時間の關係

裝入時間と熔解時間の關係を第 15, 16, 17 圖に示す。裝入時間が長くなると熔解時間は幾分短縮するが裝入時間が 3.5~4h を超えると却つて熔解は後れる。1, 2, 3 回の

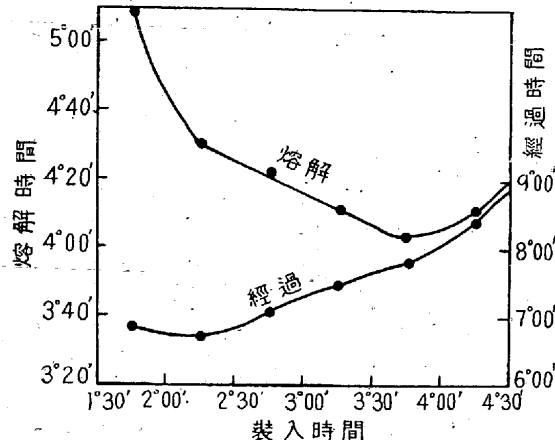
何れも裝入時間が $3\text{h } 45\text{mn}$ の時熔解時間が $3\text{h } 25\text{mn}$, $4\text{h } 10\text{mn}$ と言ふ最少時間を示してゐる。裝入時間がより早くても亦遅くても熔解時間が延びる。熔解時間が最小となる時の裝入時間對熔解時間の比は $0.9 \sim 1.1$ の範囲にある。之は熔銑屑鐵法に於てこの比が 0.7 の時熔解時間が最少となるとの* 堀内氏の報告に比べて大分差がある。之は熔銑と半銑の成分の差によるものと考へる。熔銑の Si ,



第15圖 (第1回) 裝入時間と熔解時間の關係

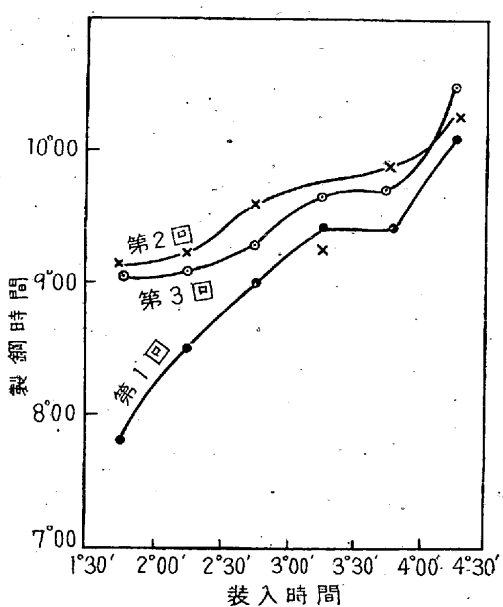


第16圖 (第2回) 裝入時間と熔解時間の關係

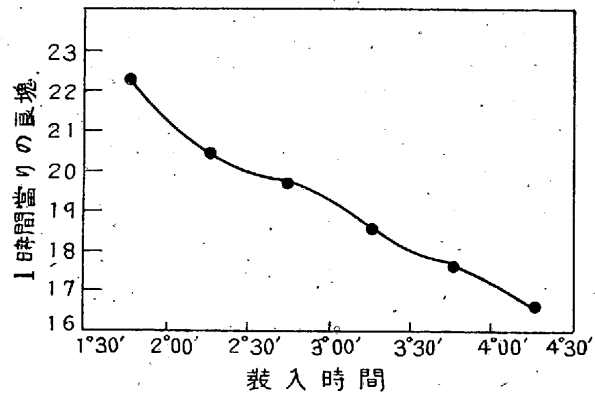


第17圖 (第3回) 裝入時間と熔解時間の關係

Mn は豫備精錬爐に於て殆ど失はれるので半銑裝入の際の



第18圖 裝入時間と製鋼時間の關係



第19圖 (第1回) 裝入時間と1時間當りの出鋼塊數の關係

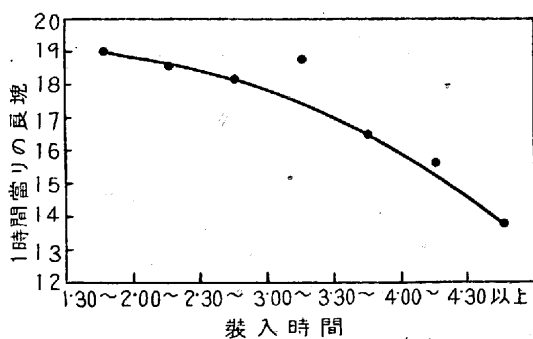
沸騰は熔銑の時程激しく行はれない。従つて裝入開始後 $3\text{h } 45\text{mn}$ 経過し酸化性鋼滓が充分出來てから半銑を裝入した時が熔解時間が短いのだと考へる。

裝入から熔解までの経過時間は裝入時間が少い程短縮してゐる。精錬時間は裝入時間の如何に拘らず殆ど一定であるから結局裝入時間が短い程製鋼時間は短縮される。

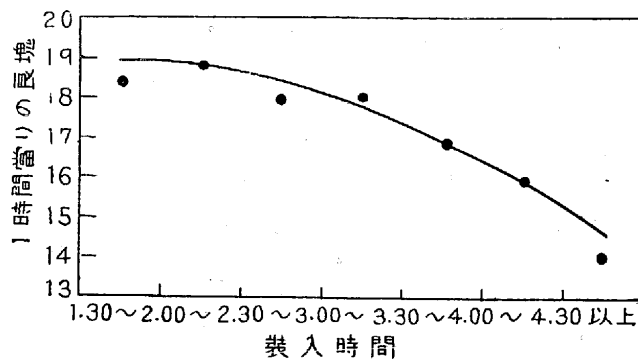
第18圖の裝入時間と製鋼時間の關係を見ると裝入時間が $3\text{h } 30\text{mn}$ を超えれば急激に製鋼時間は延長してゐる事を見る時裝入時間は絶対に $3\text{h } 30\text{mn}$ 以内にする必要がある。次に 1h 當りの良塊數と裝入時間の關係を調べると第19, 20, 21 圖の如く何れも時間が長くなると塊數は減少してゐる。 3h を超えるとこの減少率が急になつてゐる點を見ると上述の経過時間を参照し 3h 以内に裝入を終るのが理想である。

2. 半銑温度、裝入鐵石量と熔解時間、製鋼時間の關係

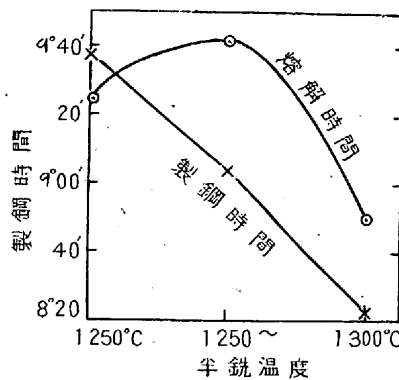
* 鋼と銅 第26年, p. 775



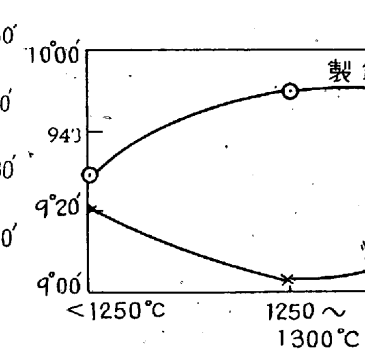
第20圖 (第2回) 装入時間と1時間當りの出鋼塊數の關係



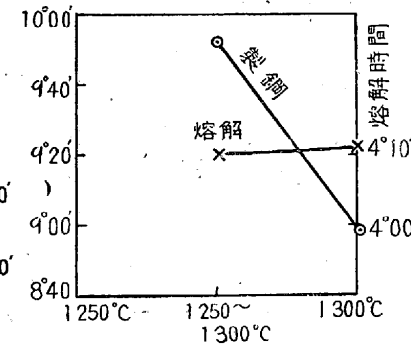
第21圖 (第3回) 装入時間と1時間當りの出鋼塊數の關係



第22圖 (第1回)



第23圖 (第2回)



第24圖 (第3回)

第22~24圖に半銑溫度と製鋼時間、熔解時間の關係を示してある。

第1回を除いてはこの關係が明瞭でないが半銑溫度が高い程兩者とも短縮する筈である。

第2回に於ては半銑溫度が低い方が製鋼時間が短くなつてゐるが之は異例である。

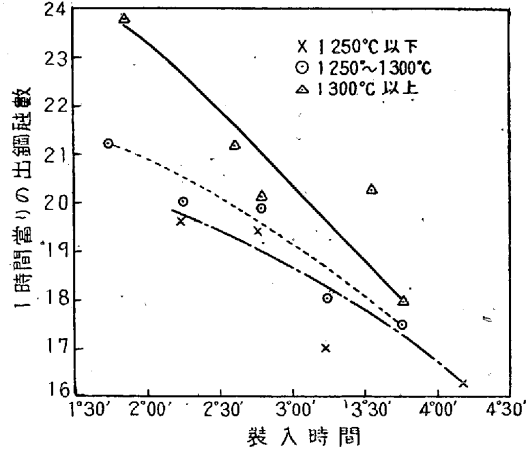
第25~27圖の半銑溫度別裝入時間と1h當り良塊數調査に於て明かな如く、第2回の異例を除き半銑溫度が高い程1h當り良塊數は多く、半銑溫度は1,300°C以上を絶對必要とする。

第28, 29, 30圖に裝入鑄石量と製鋼時間、熔解時間の關係を示してあるが第1回の如く裝入鑄石量の少いもの程熔解時間、製鋼時間とも少いのが當然である。

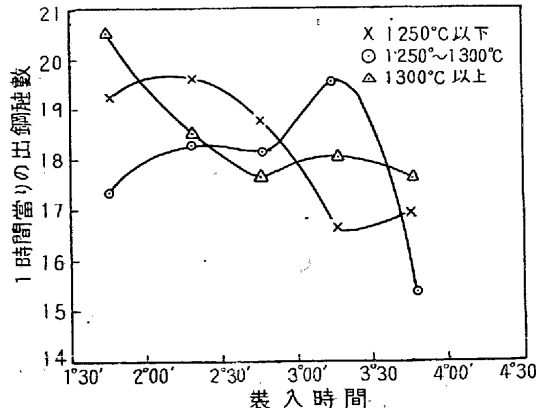
第2回、第3回の如く裝入鑄石量が多い程製鋼時間の短くなつてゐるのは裝入時間の影響を受けてゐるのである。

第2回、第3回の試験から裝入鑄石量の多少は熔解時間には大して影響を及ぼしてゐない事がわかる。第1回によると熔解時間は半銑の50°Cの差により25mn, 10tの裝入鑄石の差より17mn延長することから多少Cは高くとも熱の高い半銑が有利であると言へる。

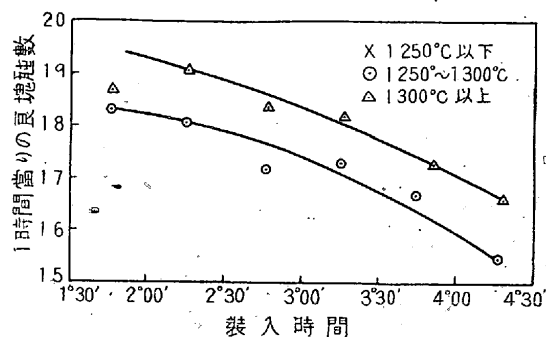
精鍊時間は各回を通じ2h7mn~2h15mnで僅か8mnの差



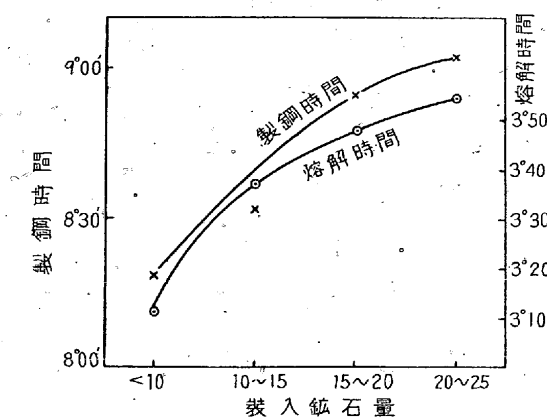
第25圖 (第1回) 装入時間と半銑溫度別1時間當り出鋼塊數の關係



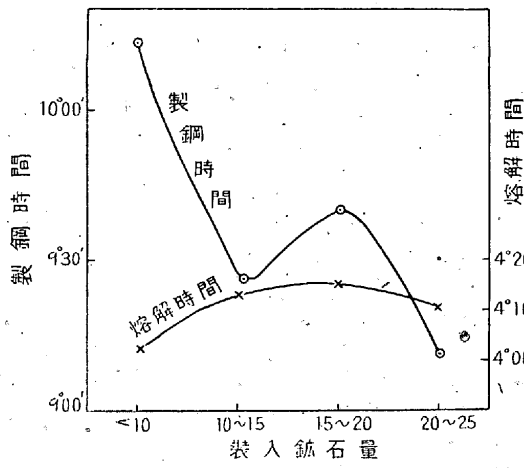
第26圖 (第2回) 装入時間と半銑溫度別1時間當り出鋼塊數の關係



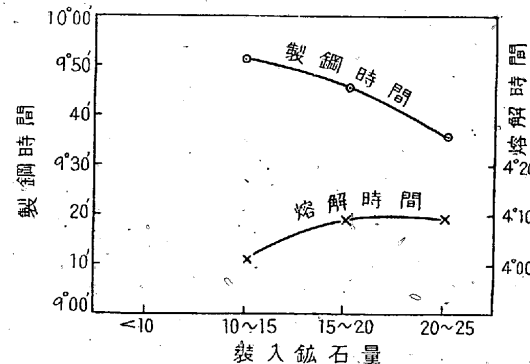
第27圖 (第3回) 装入時間と半銑温度別1時間當り出鋼成数の関係



第28圖 (第1回) 装入鉛石量と熔解時間、製鋼時間の関係



第29圖 (第2回) 装入鉛石量と熔解時間、製鋼時間の関係



第30圖 (第3回) 装入鉛石量と熔解時間、製鋼時間の関係

しかなかつた。殆ど同じと見做して良い。

半銑温度、装入鉛石にも留意すべきであるが製鋼時間短縮の決定要素は上述の各圖から装入時間の短縮にあることが明瞭にわかる。

V. 熔解時に於ける不活動性鋼滓

半銑装入後暫くの間鋼滓面は激しい反応を起すが1~2h後に沸騰が漸次少くなり、やがて不活動性の少しも流動しない鋼滓が生成され易い事は混和ガス使用の場合に屢々見受けれる。

半銑装入後の鋼滓成分の変化は大別して次の如くなる。

第1期 FeO 30%以上に及び Si , Mn の初期酸化により SiO_2 , MnO は 20% 以上を示す。この時期に於ては鋼滓面の沸騰は盛に行はれる。

第2期 FeO は急激に減少し SiO_2 , MnO も幾分減少。 CaO の割合が急に多くなつて 25% 以上に及ぶ。

第3期 SiO_2 , MnO は依然として減少し CaO が増加す

* Iron & Coal Trade Review, Jan. 20, 1939 p. 158

J. A. Davies は火炎光輝度の減少によつて爐内に泡立つ鋼滓が出来て之が絶縁體の作用をなし熔鋼の昇熱を妨げると云つてゐるがこの現象を指示するものと考へる。

ることは前に同じであるが MgO が爐熱の上昇に伴ひ増加して来る。

鋼滓が不活潑になるのはこの第2期に相當する時期である。次に各期に相當する鋼滓成分を掲げる。

	FeO	Fe_2O_3	Al_2O_3	SiO_2	MnO	CaO	MgO	鐵粒	鋼滓狀況
第1期	30.81	3.37	3.06	22.48	21.75	12.18	3.46	—	沸騰盛
第2期	16.16	4.71	2.75	12.22	22.14	28.74	5.78	5.10	沸騰少く 流動せず
第3期	14.29	4.30	4.19	19.00	13.81	23.43	17.12	2.82	流動性良

*松川氏の研究によれば $CaO + MgO + MnO$ の和が一定なる時 MnO が多ければ粘性小にして熔融温度低く、流動性良好なる鋼滓を造ると云ふ。之によれば第2期鋼滓は第3期鋼滓に比較して同温度ならば當然流動性良好の筈であるが實際は反対である。この事實から觀察すれば鋼滓の不活動性は鋼滓そのものの性質ではなく、鋼滓及び熔鋼の温度が爐内で起る化學反応に伴はない結果沸騰が行はれず、從つて鋼滓が不活動性となるのであらう。

發生爐ガス使用の際は鋼滓の不活動性と言ふ現象は見られないと言ふことを考へる時混和ガスが鋼滓を經て熔鋼に

* 鐵と鋼 19 年 p. 990~1,004

與へる熱能力が小さい事がこの現象を與へるのである。最近裝入に燒石灰の代りに石灰石を使用すると必ずこの不活動性鋼滓が生成すると言ふ現象を見て石灰石の僅かな分解吸收熱 ($25,800 \text{ kcal/t 鋼}$) も爐内の熱に大きく影響する事が判つた。この事實は上述の不活動性鋼滓が全く鋼滓、熔鋼の熱に原因する事を證明するものである。

鋼滓は次の場合は不活動性を呈しない。

- i) 半銑裝入時の爐熱が充分上昇し裝入物が高熱なる時
- ii) 半銑溫度が高い時
- iii) 半銑溫度は左程高くなくとも裝入後爐熱を充分保持する時
- i) の場合は
出鋼後の爐床周圍の手入をガスを切らずに行ひ裝入時充分のガスを使用する事により得られる。
- iii) の場合は
爐付の絶えざる注意により天井を熔損しない程度にガスを使用すれば良いが之は非常に難しい。
- ii) の半銑溫度を高くする事は豫備精錬爐に於て精錬時間に餘裕があり、而も高熱、低珪の熔銑を得

から見ると半銑溫度より鐵礦石の量如何が重大な影響を與へるやうに見えるが鐵礦石の分解は半銑裝入前に一部行はれてゐるので半銑溫度の如何が最も重大である。

半銑溫度が高いと激烈な酸化反応を起し、熔鋼のCが低下しても溫度は反応に伴つて上昇し熔解は至極圓滑に行はれるので爐付は樂な作業が出来る。而も爐體を損傷する危険が少い。

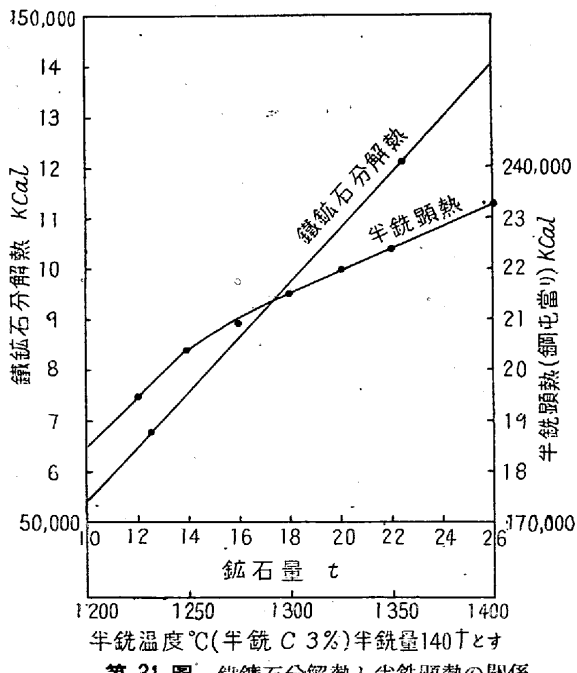
VI. 各試験の熱勘定

附表の資料から昭和13年1月に試みた熱勘定を参考とし次の假定の下に各試験時期別に熱勘定を試みた。

假 定

- i) ガスの顯熱は考慮せず
- ii) 半銑の顯熱は海野氏の研究による
- iii) 各元素の酸化熱の内Cは全體の90%をしむる故Cのみ考慮
- iv) 脅鐵及び出鋼時のCを0.20%とする
- v) 鋼滓生成熱は考慮せず
- vi) 冷却水により失はる熱量は1h當り2,405,000

熱 勘 定



半銑溫度°C(半銑 C 3%)半銑量140tとす

第31圖 鐵礦石分解熱と半銑顯熱の關係

	第1回	%	第2回	%	第3回	%	第4回	%
入 热								
燃 量 發 热 量	829,600	66.8	761,000	65.2	888,400	68.3	875,600	68.6
半 銑 顯 热	212,000	17.2	204,200	17.7	219,400	16.8	215,000	16.8
酸 化 热	199,000	16.0	190,500	17.1	191,500	14.9	187,500	14.6
計	1,230,600	100.0	1,155,700	100.0	1,299,300	100.0	1,278,100	100.0
出 热								
熔 鋼 含 有 热 量	350,000	28.2	350,000	31.4	350,000	26.9	350,000	27.4
鋼 汚 含 有 热 量	78,700	6.4	75,800	6.8	61,900	4.8	73,500	5.8
吸 热 反 應 热	106,400	8.6	88,400	7.9	99,400	7.7	100,100	7.8
冷却水による損失	114,800	9.3	135,000	12.1	135,500	10.4	142,000	11.0
廢ガスによる損失	250,000	20.2	227,000	20.3	265,800	20.4	245,300	19.2
輻射、傳導、對流 其他による損失	378,600	31.3	317,000	15.8	408,100	29.8	400,900	28.8
計	1,240,600	100.0	1,115,700	100.0	1,299,300	100.0	1,278,100	100.0
爐の燃 燒 效 率	76.0%		76.5%		76.0%		77.5%	
爐の效 率	3.3%		33.5%		28.9%		30.8%	

られるならば可能である。半銑溫度の顯熱と鐵礦石の分解吸熱の關係を第31圖に示してあるが之

kcal とす

vii) 鋼滓量は(全裝入物量 - 出鋼量)とす.*

$$* \text{爐の燃燒效率} = \frac{(\text{燃料の發生熱量}) + (\text{半銑顯熱}) - (\text{廢ガスに失はる熱量})}{(\text{燃料の發生熱量}) + (\text{半銑顯熱})} \times 100$$

$$\text{爐の效 率} = \frac{(\text{熔鋼の含有熱量}) + (\text{鋼滓含有熱量}) + (\text{吸熱反應熱}) - (\text{酸化熱})}{(\text{燃料の發生熱量}) + (\text{半銑顯熱})} \times 100$$

上述の熱勘定及び附表から次の事が云へる。

- i) 良塊処理の使用熱量は必ずしも製鋼時間の短いものが少いとは言へない
- ii) 爐の燃焼効率は大體一様で 76% を示す。第4回の場合が特に良いのは空氣使用量が少いためである。
- iii) 使用空氣量は II の場合を除き殆ど理論的所要量であるが排ガス中に O_2 が 4~5% ある事は相當爐外から侵入空氣のある事を示す。侵入空氣は送風量の約 30% に相當する。
- iv) 爐の効率は第2回の如く1時間當りガス使用量の少いものが良い。第1回の如くガスを多量に使用すれば製鋼時間は短くとも効率は幾分下る。
- v) 總てを綜合し第1回と第2回の中間を行く操業が我々の理想である。

VII. 混和ガス使用に對し留意すべき事項

1. 設計に就て

- 1. ガス吹出口 混和ガスの火焰は浮力が大きいので爐内に於て擴散し易く方向の持続性が弱いから、ガス速度を大にすると同時に吹出の角度及び方向には最も注意を拂はなければならぬ。

100 凳平爐に於て混和ガスを使用し始めてより吹出口面積を $0.378 m^2$ から $0.341 m^2$ に、更に $0.304 m^2$ に狭めてガスの速度を増し方向を安定した爲、天井の持続回數も増し好成績を収めた。ガス吹出口を小さくした爲ガス蓄熱室の排ガス量の減少により蓄熱室の溫度が上り難くなる事を恐れたがこの程度ならばダンパーの加減により $1,300^\circ C$ 迄も上げられる。

之以上のガス速度を期待するならばベンチュリー式吹出の如く排氣側のガス吹出口が移動して排ガス量を多量にするやうな装置としなければならぬ。

ガス吹出口の傾斜も 10° から 12° にしたが火焰の循回性を良くする目的で第3號平爐は最近更に 13° に増し試験中である。併し餘り大になると天井に反射するので限度がある。

- 2. 吸込口 混和ガスは發生爐ガスよりガス量で 12.5%，空氣量で 75%，排ガス量で 50% 増加したものであるから排氣口も大きくしなければならぬ。100 凳爐は 150 凳爐に比較して吸込口が細長く且面積も小さい。ガス使用量は 100 凳爐は 150 凳爐の 94% であるのに吸込口面積は 85 % であつて排ガスが出てゆくのに抵抗が多い。而して 100

凳爐は天井と吸込口の接續部が揃つてあるのでジャケット内卷の肩の煉瓦持続回數が少い。最近吹出側を $150 mm$ 上げて吸込口ジャケットも $150 mm$ 上げて上に對應せしめ天井の揃りを無くしたので幾分持続回數が増したが、この吸込口の形狀、面積も變へるべきであると考へ目下設計中である。

- 3. 爐體と吹出口の間隙防止 混和ガスに於ては蓄熱室溫度を高める事を強調する爲、外部からの侵入空氣により冷却する事を嚴に警戒しなければならぬ。この意味から爐體と吹出口の間は空氣の侵入を防ぐやう鐵板で覆はなければならぬ。こゝから空氣が入ると爐内排氣の吸引力を弱める爲、ガスの方向を悪くし、ジャケット内卷煉瓦を弱める事になる。

- 4. 蓄熱室 蓄熱室の煉瓦積容積は發生爐ガスに比べて當然擴大すべきであるが之は出來ないので、加熱面積を増すために煉瓦の大きさ、或は積み方を變へなければならぬと考へる。

- 5. 瓣 混和ガスは水瓣以外完全に遮斷する方法が無いから變更瓣以前に水瓣が絶対必要である。爐床燒付後一時ガスを切つて冷却する等の場合、仕切瓣及び蝶形瓣を閉めても幾分ガス變更瓣の方に洩れて爆發する危険性がある爲必ず變更瓣を半廻とせねばならぬし修繕の場合種々の不便がある。

- 6. ガス調節器 混和ガスの如く任意にガスの割合を變へ又ガス壓力の變動に際し流量を一定ならしめる爲にはアスカニア式自動調節器の如きものがあれば非常に便利である。

2. 燥爐に就て

混和ガスは煉瓦の目地を縫つて外部に出る力が強く之は發生爐ガスと異り放置して置いたならば決して止まない。目地の隙間は蓄熱室に於ては勿論、上りに於ても外部から空氣の侵入を許し爐の効率低下の大きな原因となる。故に蓄熱室の周圍、ガス、空氣の上りは鐵板を以て覆ひ、マンホール、蓄熱室天井は嚴に目塗りしなければならぬ。

一旦目塗りしてガスが完全に止つても修繕等のためガスを止めると煉瓦の收縮によつて目地が切れるからガス通入後必ず目地を新たに塗り更へる必要がある。目地は珪石モルタルと苦汁液を混ぜて使用してゐるが成績が良い。

3. ガス壓力、計器類に就て

コークス爐ガス、高爐ガスの壓力に變動が多いと爐内に入るガス流量及び熱量は常に變動し仕事がやり難いばかりでなく屢々天井熔損の原因となる。又コークス爐ガス及び

第5號 平爐試験成績表(入置及び冷銑装入は除外す)

試験期日	回数	装入鐵						合計	装入原料								
		銑 半 銑 銑	鐵 鋸 鋸	銑 計	屑 鐵 屑鐵	鐵 殘塊	屑 鐵 計		鐵礦石	マンガン 鐵	スケール	螢石	生石灰				
第1回 3月1日(自) 4月14日(至)	88	139'000	1'000	140'000	31'000	3'000	34'000	174'000	15'800	3'500	500	6'008	2'400				
第2回 4月22日(自) 8月24日(至)	173	131'200	1'500	132'700	44'600	2'700	47'300	180'000	13'200	3'500	445	0'005	2'100				
第3回 9月4日(自) 1月25日(至)	49	139'900	600	140'500	36'600	2'900	3'500	180'000	15'500	3'400	200	0'004	2'200				
第4回 8月1日(自) 9月12日(至)	42	134'000	3'000	137'000	38'200	2'800	4'000	178'000	15'800	2'500	600	—	2'900				
追加剤		合金鐵及び還元剤						製出鋼		操業時間							
マンガ ン 鐵	鐵 礦 石	生 石 灰	螢 石	フェロ マンガ ン	フェロ シリコ ン	フェロ ボスホル ウム	アルミニ ウム	良塊	鋼屑	合計	装入	熔解	精鍊	合計			
1'000	3'000	1'600	—	0'950	1'70	kg 1'15	kg 0'50	172'900	6'900	179'800	2'48	h mn 3 37	h mn 2 11	h mn 8 36			
1'000	2'900	1'400	—	0'850	1'30	1'20	0'43	170'700	6'000	176'700	3 05	4 38	2 12	9 55			
1'000	2'300	1'300	—	1'180	1'50	1'10	0'40	171'800	7'000	179'400	3 14	4 32	2 15	10 01			
1'600	1'600	1'400	—	1'065	0'65	0'40	0'30	172'400	6'300	178'700	3 25	5 0	2 07	10 33			
半銑成分					半銑溫度	熔解溫度	ガス成分						排ガス成分				
C	Mn	Si	P	S	°C	°C	CO ₂	O ₂	CO	H ₂	C _n H _m	CH ₄	N ₂	cal	CO ₂	O ₂	CO
3'37	0'09	0'046	0'056	0'047	1 284	1 568	% 6'3	% 0'6	% 23'6	% 16'9	% 0'9	% 9'0	% 42'7	2,095	% 14'0	% 4'8	% 0'04
3'35	0'09	0'067	0'064	0'061	1 285	1 570	6'1	0'5	24'3	16'9	0'9	7'9	43'4	2,008	14'3	4'2	0'1
3'23	0'08	0'125	0'093	0'071	1 321	1 585	5'8	0'5	24'3	15'8	0'9	8'1	44'6	2,001	8'6	5'0	0'4
3'22	0'06	0'171	0'061	0'087	1 327	1 570	5'0	1'0	23'9	17'4	0'8	7'5	44'4	1,950	15'4	3'5	0'2
ガス量		1h當りガス流量		1h當り1h當り		ガス割合		ガス混	ガス1m ³ に對し空氣量	製鋼1t當り流量		製鋼処理當りに要せし熱量		製鋼1h當り良塊			
高爐	コークス 爐ガス	高爐ガス	コークス 爐ガス	ガス流量	空氣流量	高爐 ガス	コークス 爐ガス	合熱量	高爐 ガス	コークス 爐ガス	空氣						
45'891	M ³ 25'288	M ³ 5'840	M ³ 2'942	M ³ 8'282	M ³ 18'211	% 64'5	% 35'5	kcal 2'105	m ³ 2'20	m ³ 255	m ³ 141	m ³ 871	10 ⁶ kcal 0'869	t 20'112			
44'218	22'879	4'565	2'204	6'769	16'652	67'4	32'6	1'859	2'46	250	129	941	0'769	17'207			
53'550	26'276	5'268	2'631	7'899	16'266	66'7	33'3	1'981	2'06	298	146	916	0'869	17'152			
52'410	29'647	4'968	2'810	7'778	14'959	63'8	36'2	2'103	1'92	293	156	929	0'987	16'929			

高爐ガス圧力の差が甚しいと圧力の高いガスに押されて圧力の低いガスが入り難く所要の熱量が得られない場合が多い。之等の問題は將來ガス溜の使用、アスカニア自動調節機の設備により解消せられる事と思ふ。

混和ガスを上手に使用するにはガス、空氣の流量計は勿論、酸素計量器、蓄熱室、排氣道の溫度記録計が必要である。殊にガス、空氣流量計は不可缺のものである。ガス流

量計は各季には故障を生じ易いから充分調節に留意すべきである。流量計の故障により天井を熔損した例も間々ある。

總括

1) 混和ガスは蓄熱室で豫熱されて1200°Cにて35%, 1300°Cにて76%のCH₄の分解が行はれ1200°Cにて32%, 1300°Cにて49%のCO₂の還元が行はれる。從

- つて容積を増加し混和ガス $1Nm^3$ 当りの熱量は増加する。
- 2) 混和ガス中の水分及び外部からの侵入空気は著しく潜熱を減少せしめるから充分注意しなければならぬ。
 - 3) 混和ガスは豫熱されて 1200°C にて $8g/m^3$, 1300°C にて $15g/m^3$ の遊離炭素を生成し火炎の輻射能は増加するが浮力も増す。
 - 4) 豫熱ガス中の C は豫熱温度が高くても発生爐ガスの $1/3$ に過ぎない。従つて輻射能が少く作業に不便を感じる。
 - 5) 蓄熱室温度は $1250\sim1300^\circ\text{C}$ を適當とす。
 - 6) 火焰温度は蓄熱室温度が上昇するに従ひ熱量の大きいガス程高くなるが 950°C 以下では熱量の大小は影響しない。
 - 7) 装入時間が $3h$ 以上になると製鋼時間は急激に延長する。
 - 8) 半銑温度が高く装入鑛石量の少いのが良いのであるが、平爐作業には半銑温度の影響の方が大きい。従つて装入鑛石量を少くする爲に温度を犠牲にして迄半銑の炭素を下げる事は不利である。

9) 製鋼時間を左右する決定的要素は装入時間の短縮にある。

10) 半銑温度の高い事は熔解を順調にし不活動性鋼滓の生成を防止し作業を容易ならしめ爐體の損傷を少くする。

本試験の結果から理想とする作業條件を次に示す。

装入時間 $h \ mn$	熔解時間 $h \ mn$	精鍊時間 $h \ mn$	製鋼時間 $h \ mn$
3 00 以内	4 00~4 30	2 00	8 30~9 00

半銑温度 1300°C 以上 ガス蓄熱室温度 $1250\sim1300^\circ\text{C}$
ガス熱量 $2.100 \text{ kcal}/Nm^3$ 空氣蓄熱室温度 $1150\sim1250^\circ\text{C}$
ガス使用量 $7500 m^3/h$ 良塊鉄當り熱量 $0.820 \times 10^6 \text{ kcal}$
空氣使用量 $17000 m^3/h$ 1h 當り良塊鉄數 20t 鉄
排ガス中の O_2 4.5%

本研究を行ふに當り種々御指導を賜はりたる小池製鋼課長殿、野口製鋼課長殿、研究所、藤田守太郎殿、又種々御援助下さつた熱管理課、信澤寅雄氏、佐々木專一氏、岡勇氏に深甚なる謝意を表す。又試験期間中平爐作業の指導に當られた木下正氏の勞を多とす。

熔鋼の脱酸に関する二、三の研究

(日本鐵鋼協會第 25 回講演大會講演 昭 16. 4. 東京)

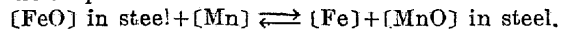
小林佐三郎*

ON THE STUDY OF THE DEOXIDATION OF STEEL

Sasaburō Kobayashi, Kōgakuhakusū

SYNOPSIS:—(1) Direct deoxidation of molten steel by manganese was experimented, obtaining the following formula for the solubility of MnO , in which the sample had been skimmed from the molten steel with a specially designed quartz apparatus and quenched immediately in mercury, and the MnO and FeO in the steel had been analysed by the alcoholic iodine method:—

Solubility of MnO (%) = $1.5 \times 10^{-4} - 0.198$. For instance about 0.05% MnO dissolves at 1650°C and the following deoxidation equilibrium:



(2) In case where silicon was added to the molten steel, an acidic SiO_2 evolves, absorbs MnO and floats off. Therefore the abovementioned equilibrium disjoins, causing the reaction to the right alone. In other words, in case of the coexistence of silicon even the small quantity of the manganese content participates in deoxidation, being effective to the elimination of SiO_2 . In practice, a sample was taken with a vacuum sampling vessel from the molten steel at the deoxidation period in the acid open hearth refining, the analysis of which yield an extremely slight quantity of SiO_2 as the deoxidation product.

(3) A considerable amount of Fe-Si or Si-Mn was added to about 2 kg of the molten steel with 0.2% Mn and solidified within some minutes. From the results of a number of such experiments, it was found that steels with above 0.35% Si contain below half amount of the silicate inclusion when compared with those with about 0.20% Si. Similar results were obtained in the melting test on a larger scale.

(4) It is presumed therefore that, the deoxidation degree of the molten steel may be improved and the silicate inclusion of ingots may be lessened by suitably utilizing the method of adding considerable amount of silicon to the molten steel with above 0.2% Mn.

I. 緒言

熔鋼の精鍊法を改良進歩させるには實地作業と物理化學

的研究とが緊密に調和協力しなければならぬことは今更多言を要しないところであるが、後者の物理化學即ち化學冶金的研究は一般に高溫度であるから實驗装置や測定法が極

* 日本製鋼所室蘭製作所